

#### Ecole d'ingénieurs Sup Galilée Energétique - Informatique - Instrumentation Mathématiques Appliquées et Calcul Scientifique Télécommunications et Réseaux



## Ingénieurs MACS 2 - TP F.E.M. (S8)

## Eléments finis $\mathbb{P}_1$ -Lagrange en dimension $\geq 1$ : épisode 1

Espace fonctionnel des éléments finis P<sub>1</sub>-Lagrange

#### François Cuvelier

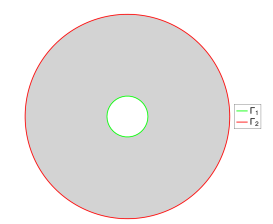
Laboratoire d'Analyse Géométrie et Applications Institut Galilée Université Paris XIII.

#### Prérequis

- Notion de maillages,
- Eléments finis  $\mathbb{P}_1$ -Lagrange en dimension 1,
  - → voir vidéos dédiées

**Objectif**: approcher  $u \in \mathcal{C}^0(\Omega_1; \mathbb{R})$  ou  $u \in \mathcal{C}^0(\Gamma_1; \mathbb{R})$  ou  $u \in \mathcal{C}^0(\Gamma_2; \mathbb{R})$  par exemples

- Espaces des éléments finis P<sub>1</sub>-Lagrange sur un maillage,
- Fonctions de base associées.



Plan

Espace fonctionnel E.F. P1-Lagrange

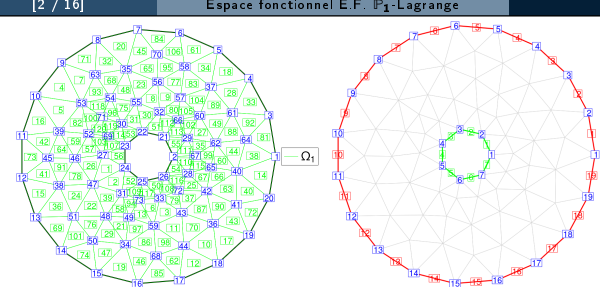


Figure:  $\Omega^h$ : maillage d'un anneau  $\Omega = \Omega_1$ ,  $\Gamma_1$  bord intérieur,  $\Gamma_2$  bord extérieur.

Maillage

2 Espace discret

Fonctions de base

Interpolation

Composé de trois maillages élémentaires, deux sont décrits :

•  $\Omega_1^h(=\Omega^h)$ : q1, size = (2,  $n_q$ ); me1, size = (3,  $n_{me}$ ); toG1, size = (1,  $n_q$ ) avec  $n_q$  = 73,  $n_{me}$  = 120,  $\Omega_1^h = \begin{bmatrix} T_k, & \text{et } T_k, & \text{triangle de sommets } q1 & \text{(:, me1(:,k))}. \end{bmatrix}$ 

 $\bullet \ \Gamma_1^h: \texttt{q\_b1}, \ \texttt{size} = (2, \textit{n}_q); \ \texttt{me\_b1}, \ \texttt{size} = (2, \texttt{n}_{me}); \ \texttt{toG\_b1}, \ \texttt{size} = (1, \textit{n}_q) \ \texttt{avec} \ \textit{n}_q = 7, \ \texttt{n}_{me} = 7, \ \texttt{n}_{me}$  $\Gamma_1^h = \bigcup_{k=1}^{n_{\text{me}}} S_k$ , et  $S_k$ , segment de sommets  $q_b 1(:, me_b 1(:, k))$ .

Dans ce maillage particulier, on a: q b1 == q1(:,toG b1)

r voir ep01.ring00

Espace fonctionnel E.F. P1-Lagrange

# Plan

- Maillage
- 2 Espace discret
- Fonctions de base
- 4 Interpolation

Chaque maillage élémentaire *E<sub>h</sub>* possède son propre jeu de données:

•  $E_h.q$ , size =  $(n, n_q)$ ;  $E_h.me$ , size =  $(d+1, n_{me})$ ;  $E_h.toGlobal$ , size =  $(1, n_q)$   $\rightarrow$  avec  $n_q = E_h.n_q$ ,  $n_{me} = E_h.n_{me}$ ,  $n = E_h.n$ , ...

$$V(E_h) = \left\{ v \in \mathcal{C}^0(E_h; \mathbb{K}) \text{ tq } \forall k \in [1, n_{\text{me}}], \ v_{|\mathcal{K}_k} \in \mathbb{K}_1[X_1, \dots, X_n] \right\}$$

### Propriétés: espace $V(E_h)$

- espace vectoriel,  $\dim(V(E_h)) = n_q$ ,
- Soit  $i \in [\![1,n_{\mathrm{q}}]\!], \, \exists ! \varphi_i \in V(E_h)$  tel que

$$\varphi_i(\mathbf{q}^j) = \delta_{i,j}, \ \forall j \in [1, n_{\mathbf{q}}], \quad \text{où } \mathbf{q}^j \stackrel{\mathsf{def}}{=} E_h.\mathbf{q}^j$$

- $\{\varphi_i\}_{i=1}^{n_q}$  base de  $V(E_h)$ ,
- les  $\varphi_i$  sont appelées fonctions de base  $\mathbb{P}_1$ -Lagrange associées à  $E_h$ , notées aussi  $E_h.\varphi_i$ .
- $\varphi_i \equiv 0 \text{ sur } K_k, \text{ si } q^i \notin K_k \Rightarrow \operatorname{supp}(\varphi_i) = \bigcup_{\{k \in [\![ 1, \operatorname{n_{me}} ]\!]; \ q^i \in K_k\}} K_k$

$$u_h \in V(E_h) \iff u_h = \sum_{i=1}^{n_q} \mu_i \varphi_i \iff u_h(q) = \sum_{i=1}^{n_q} \mu_i \varphi_i(q), \ \forall q \in E_h$$

•  $E_h$  un maillage élémentaire composé de d-simplexes en dimension n: qh, size =  $(n, n_{\rm q})$ ; meh, size =  $(d+1, n_{\rm me})$ ; toGh, size =  $(1, n_{\rm q})$ 

$$E_h = \bigcup_{k=1}^{n_{\text{me}}} K_k \subset \mathbb{R}^n$$
, et  $K_k$ ,  $d$ -simplexe de sommets  $qh(:, meh(:,k))$ .

•  $V(E_h)$  espace fonctionnel  $\mathbb{P}_1$ -Lagrange associé au maillage élémentaire  $E_h$ :

$$\boxed{V(E_h) = \left\{ v \in \mathcal{C}^0(E_h; \mathbb{K}) \text{ tq } \forall k \in \llbracket 1, \mathrm{n_{me}} \rrbracket, \ v_{|K_k} \in \mathbb{K}_1[X_1, \dots, X_n] \right\}}$$

Traduction:  $V(E_h)$ , espace des fonctions continus sur  $E_h$  à valeurs dans  $\mathbb{K}$  ( $\mathbb{R}$  ou  $\mathbb{C}$ ) telles que leurs restrictions à  $K_k$  soit un polynôme de degré 1, pour tout k.  $\bowtie$   $\dim(\mathbb{K}_1[X_1,\ldots,X_n])$ ?

Notations :  $qh = E_h.q$ ,  $meh = E_h.me$ ,  $toGh = E_h.toGlobal$ ,  $n_q = E_h.n_q$ ,  $n_{me} = E_h.n_{me}$ , ... Sur le maillage de l'anneau:

$$\begin{split} \mathcal{C}^0(\Omega;\mathbb{K}) \approx \textit{V}(\Omega_1^{\textit{h}}), \quad & \mathcal{C}^0(\Gamma_1;\mathbb{K}) \approx \textit{V}(\Gamma_1^{\textit{h}}) \quad \text{et} \quad & \mathcal{C}^0(\Gamma_2;\mathbb{K}) \approx \textit{V}(\Gamma_2^{\textit{h}}). \\ & \Omega_1^{\textit{h}}.\textit{n}_{\rm q} \neq \Gamma_1^{\textit{h}}.\textit{n}_{\rm q} \neq \Gamma_2^{\textit{h}}.\textit{n}_{\rm q}, \ldots \end{split}$$

F.E.M.: épisode 1 [6 / 16] Espace fonctionnel E.F. P<sub>1</sub>-Lagrange 2. Espace discret

Plan

- Maillage
- 2 Espace discret
- Fonctions de base
- 4 Interpolation

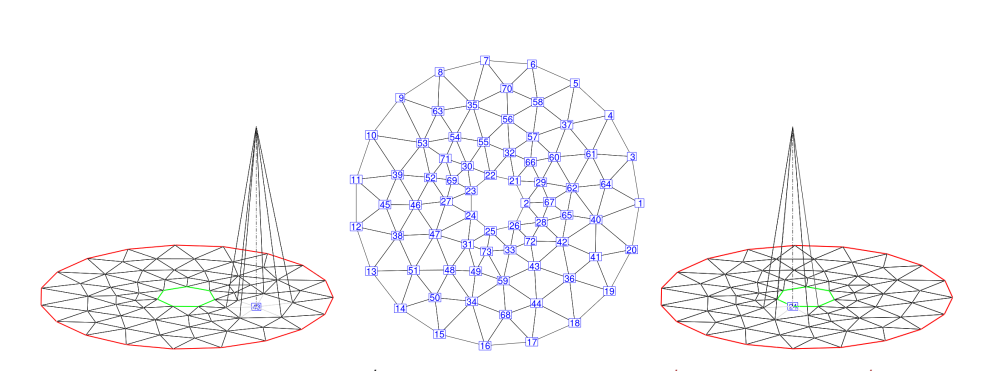


Figure: Numérotation des noeuds de  $\Omega^h$  (centre), fonctions de base  $\Omega^h$ .  $\varphi_{43}$  (gauche) et  $\Omega^h$ .  $\varphi_{24}$  (droite) appartenant à  $V(\Omega^h)$ .

Figure: Fonction de base  $\Gamma_1^h.\varphi_5$ , numérotation locale (gauche) et globale (centre). Fonction de base  $\Omega^h.\varphi_{24}$  (droite).

Avec  $\gamma_{\Gamma_1^h}: V(\Omega^h) \longrightarrow V(\Gamma_1^h)$ , fonction trace/restriction:

$$\gamma_{\Gamma_{1}^{h}}(\Omega^{h}.\varphi_{24}) = \Gamma_{1}^{h}.\varphi_{5}$$

 $E_h$  maillage élémentaire de  $\Omega^h$ . La restriction/trace sur  $E_h$  d'une fonction de base  $\mathbb{P}_1$ -Lagrange de  $V(\Omega^h)$  est une fonction de base  $\mathbb{P}_1$ -Lagrange de  $V(E_h)$ : soit  $i \in [1, E_h, n_0]$  et  $r = E_h, toGlobal(i), (r \in [1, \Omega^h, n_0])$ 

$$E_h.\varphi_i = \Omega^h.\varphi_{r|E_h}$$

▶ Voir ep01.ring01

→ résultat utile pour la résolution de B.V.P. (Boundary Value Problem)!

Plan

- Maillage
- Espace discret
- Fonctions de base
- Interpolation

 $\mathcal{C}^0(\Omega; \mathbb{K}) \approx V(\Omega_1^h) = \operatorname{Vect}\left\{\varphi_1, \dots, \varphi_{n_q}\right\}$  avec  $n_q = \Omega_1^h.n_q, \, \varphi_i = \Omega_1^h.\varphi_i, \, \dots,$ 

 $\Rightarrow$   $\forall v_h \in V(\Omega_1^h)$ , il existe  $\pmb{\mu} = (\mu_i)_{i=1}^{n_{\mathrm{q}}} \in \mathbb{K}^{n_{\mathrm{q}}}$  unique tels que

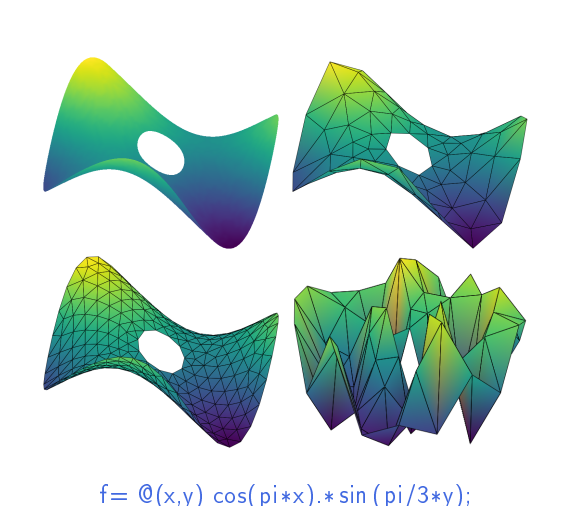
$$v_h(\mathbf{q}) = \sum_{i=1}^{n_{\mathbf{q}}} \mu_i \varphi_i(\mathbf{q}), \ \forall \mathbf{q} \in \Omega_1^h.$$

$$v_h(\mathbf{q}^j) = \sum_{i=1}^{n_q} \mu_i \underbrace{\varphi_i(\mathbf{q}^j)}_{=\delta_{i,i}} = \mu_j, \quad \mathbf{q}^j = \Omega_1^h.\mathbf{q}^j.$$

Soient  $u \in \mathcal{C}^0(\Omega; \mathbb{K})$  et  $\boldsymbol{U} = (U_i)_{i=1}^{n_q} \in \mathbb{K}^{n_q}$ , avec  $U_i = u(q^i)$ . Alors

$$u(\mathbf{q}) \approx \sum_{i=1}^{n_{\mathbf{q}}} u(\mathbf{q}^i) \varphi_i(\mathbf{q}) = \sum_{i=1}^{n_{\mathbf{q}}} U_i \varphi_i(\mathbf{q}) \stackrel{\mathsf{def}}{=} \pi_h(u)(\mathbf{q})$$

$$\text{Op. d'interpolation } \left\{ \begin{array}{ccc} \pi_h & : & V(\Omega_1) & \longrightarrow & V(\Omega_1^h) \\ & & u & \longmapsto & \pi_h(u) = \sum_{i=1}^{n_{\mathrm{q}}} u(q^i) \varphi_i \end{array} \right., \ V(\Omega_1) = \mathcal{C}^0(\Omega;\mathbb{K}) \text{ ou } \mathrm{H}^1(\Omega_1) \text{ ou }$$



Représentation de  $u_h \in V(\Omega_1^h)$ 

$$u_h(\mathbf{q}) = \sum_{i=1}^{n_{\mathbf{q}}} U_i \varphi_i(\mathbf{q})$$

en notant  $\mathbf{q}^i = \Omega_1^h.\mathbf{q}^i \in \mathbb{R}^2$ 

- $\begin{array}{l} \bullet \;\; \text{haut-gauche:} \\ \;\; \text{Maillage fin} \;\; (\Omega_1^h.n_{\mathbf{q}} = 3328), \\ U_i = \mathsf{f}(\mathbf{q}_1^i,\mathbf{q}_2^i) \end{array}$
- $\begin{array}{l} \bullet \;\; \text{haut:} \\ \;\; \text{Maillage grossier} \;\; (\Omega_1^h.\textit{n}_{\rm q} = 73), \\ \textit{U}_i = \mathsf{f}(\mathbf{q}_1^i,\mathbf{q}_2^i) \end{array}$
- bas-gauche: Maillage moyen  $(\Omega_1^h.n_{\mathbf{q}}=298),$   $U_i=\mathbf{f}(\mathbf{q}_1^i,\mathbf{q}_2^i)$
- bas-droit: Maillage grossier  $(\Omega_1^h.n_{
  m q}=73),\ U_i={
  m rand}()$

ring02 voir ep01 ring02

$$\mathcal{C}^0(\Gamma_2; \mathbb{K}) \approx V(\Gamma_2^h) = \operatorname{Vect} \left\{ \varphi_1, \dots, \varphi_{n_q} \right\}$$

• Notations (locales):

$$\mathbf{q} = \Gamma_2^h.\mathbf{q}, \ n_{\mathbf{q}} = \Gamma_2^h.n_{\mathbf{q}}, \ \mathbf{me} = \Gamma_2^h.\mathbf{me}, \ \ldots, \ \boldsymbol{\varphi_i} = \Gamma_2^h.\boldsymbol{\varphi_i}, \ \ldots$$

Soient  $u \in \mathcal{C}^0(\Gamma_2; \mathbb{K})$  et  $\boldsymbol{U} = (U_i)_{i=1}^{n_q} \in \mathbb{K}^{n_q}$ , avec  $U_i = u(\mathbf{q}^i)$  et  $\mathbf{q}^i = \Gamma_2^h.\mathbf{q}^i$ . Alors

$$u(\mathbf{q}) \approx \sum_{i=1}^{n_{\mathbf{q}}} u(q^i) \varphi_i(\mathbf{q}) = \sum_{i=1}^{n_{\mathbf{q}}} U_i \varphi_i(\mathbf{q}) \stackrel{\mathsf{def}}{=} \pi_h(u)(\mathbf{q})$$

$$\text{Op\'erateur d'interpolation } \left\{ \begin{array}{ccc} \pi_h & : & V(\Gamma_2) & \longrightarrow & V(\Gamma_2^h) \\ & & u & \longmapsto & \pi_h(u) = \sum\limits_{i=1}^{n_{\mathrm{q}}} u(q^i)\varphi_i \end{array} \right.$$

avec  $V(\Gamma_2)=\mathcal{C}^0(\Gamma_2;\mathbb{K})$  ou  $\mathrm{H}^{1/2}(\Gamma_2)$  ou  $\dots$ 

E.M.: épisode 1 [13 /

Espace fonctionnel E.F.

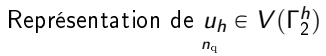
4. Interpolatio

E.M.: épisode 1

space fonctionnel E.F. Pa-Lagra

4 Interpolation

### $(\Gamma_0^h)$



$$u_h(\mathbf{q}) = \sum_{i=1}^{n_{\mathbf{q}}} U_i \varphi_i(\mathbf{q})$$

avec  $\mathbf{q}^i = \Gamma_2^h.\mathbf{q}^i \in \mathbb{R}^2$  et  $U_i = \mathsf{f}(\mathbf{q}_1^i,\mathbf{q}_2^i)$ 

- bas: Maillage moyen  $(\Gamma_2^h.n_q = 51)$ ,
- gauche: avec maillage
- droite: avec f en gris foncé

™ voir ep01 ring03

## Codes fournis

Codes fournis dans archive ep01.tar.gz permettant de reproduire les figures et utilisant le package (esimesh :

- ep01.ring00 à ep01.ring03 programmes Matlab/Octave,
- ullet ep01.plot\_BasisFunction fonction pour la représentation de fonctions de base en 2D,
- ep01.special\_plot fonction pour la représentation de fonctions de base en 2D sur les bords,
- $\bullet$  ring.geo fichier de géométrie pour GMSH dans répertoire geofile

Le contenu des codes n'est pas forcément à comprendre dès maintenant.

F.E.M.: épisode

[15 / 16]

 $f = Q(x,y) \cos(pi*x).*\sin(pi/3*y);$ 

Espace fonctionnel

tionnel E.F. P1-L

P1-Lagrange

4. Interpolati

F.E.M.: épisode 1

[16 / 16]

Espace fonctionnel E.F.  $\mathbb{P}_1$ -L:

2022/03/24